

Научно-исследовательский
физико-химический институт
им. Л. Я. Карпова
Москва

Поступило в Редакцию
3 мая 1990 г.

УДК 539.2 : 535

© Физика твердого тела, том 32, № 10, 1990
Solid State Physics, vol. 32, N 10, 1990

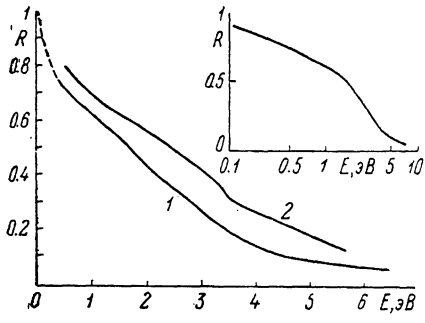
ОПТИЧЕСКОЕ ОТРАЖЕНИЕ И ЭЛЕКТРОННАЯ СТРУКТУРА $\text{UFe}_{10}\text{Sn}_2$

А. Б. Безносов, А. И. Галуза, В. В. Еременко,
Г. Ратайчак,¹ В. А. Ушаков

Тернарное интерметаллическое соединение $\text{UFe}_{10}\text{Sn}_2$ с объемно-центрированной тетрагональной структурой типа ThMn_{12} принадлежит к новому перспективному семейству жестких ферромагнетиков [1]. Для выяснения природы их свойств необходима детальная информация об их электронной структуре, о которой пока известно немного. Часть нужных сведений

может быть получена из оптических измерений.

В работе измерено оптическое отражение $\text{UFe}_{10}\text{Sn}_2$ в спектральной области $0.3 \leq E \leq 6.4$ эВ, охватывающей основной диапазон энергий



Спектры отражения $R(E)$ интерметаллидов $\text{UFe}_{10}\text{Sn}_2$ (1) и U_6Fe (2).

На вставке — зависимость $R(\lg E)$ $\text{UFe}_{10}\text{Sn}_2$.

возбуждений системы его валентных электронов. Образец представлял собой пленку толщиной 370 нм с зеркальной отражающей поверхностью, размером 5×6 мм², напыленную на стекло в вакууме ~ 1.3 нПа.

Измерение спектральной зависимости отражения $R(E)$ проведено на автоматизированном двухлучевом рефлектометре при угле падения $\leq 10^\circ$ с применением двойного монохроматора МДР-6 со сменными решетками и источниками излучения (лампы КГМ 12-100 и ДДС-30). При энергии $E \leq 1.5$ эВ в качестве детектора использовано фотосопротивление ФСВ-16 АН, а выше 1.5 эВ — фотоумножитель ФЭУ-100. Контрольные измерения проведены с помощью лазера ЛГН-113 на длинах волн 0.63 и 3.39 мкм с термоэлементом в качестве детектора. Измерение пропускания T показало, что в исследованной области спектра глубина проникновения света меньше толщины пленки (полученное значение $T \sim 10^{-3}$ постоянно по спектру и определяется, по-видимому, наличием в пленке микротверстий).

Экспериментальный спектр отражения $\text{UFe}_{10}\text{Sn}_2$ представлен на рисунке. Там же приведен спектр отражения богатого ураном соединения U_6Fe , измеренный нами на механически полированном массивном поликристаллическом образце методом оптической эллипсометрии Битти [2]. Близость обоих спектров указывает на близость основных характеристик электронных систем этих соединений и тем самым на важную роль 5f-оболочки урана в формировании оптических свойств $\text{UFe}_{10}\text{Sn}_2$. Сравнение

¹ Институт молекулярной физики ПАН, г. Познань.

с данными отражения Sn и Fe [3] дает основание предположить, что зона проводимости UFe₁₀Sn₂ содержит значительно меньше почти свободных электронов, чем его исходные компоненты.

При анализе свойств переходных металлов, к которым следует отнести UFe₁₀Sn₂ по ряду признаков (магнетизм, проводимость и др.), удобно разделить электронную систему на две части: почти свободные электроны преимущественно s-типа, эффективная масса m^* которых близка к массе m , свободного электрона, и квазисвязанные электроны преимущественно d (f)-типа с существенно большей эффективной массой. Первые определяют в основном статическую электропроводность (в данном случае отражение $R(E)$ при $E \rightarrow 0$) и атомный радиус, вторые — магнитные явления и повышенную жесткость решетки [4]. Основные характеристики системы почти свободных электронов нетрудно оценить по полученной кривой $R(E)$ в модели «желея» [5]. Экстраполируя отражение в инфракрасной области к единице с помощью соотношения Хагена—Рубенса

$$R \approx 1 - (2E/\pi^2\sigma_0)^{1/2},$$

где σ_0 — статическая проводимость, используя значение $\hbar\omega_p \approx 4$ эВ, оцениваемое по положению плазменного порога отражения, хорошо проявляющегося на кривой $R(\lg E)$ (вставка на рисунке), получаем: $\sigma_0 \approx 6.5 \cdot 10^5$ Ом⁻¹·м⁻¹ (соответствующее удельное сопротивление $\rho \approx 1.54$ мкОм·м), концентрация почти свободных электронов $n = \omega_p^2 m^*/4\pi e^2 \approx 1.2 \cdot 10^{28}$ м⁻³, число почти свободных электронов на формульную единицу $Z \approx 2.2$, время релаксации $\tau = 4\pi\sigma_0/\omega_p^2 \approx 2 \cdot 10^{-15}$ с, импульс Ферми $k_F = (3\pi^2 n)^{1/3} \approx 7$ нм, длина свободного пробега $\lambda_F = \hbar k_F \tau / m^* \approx 1.6$ нм. Соответствующий вклад в модуль всестороннего сжатия

$$K = \pi^{1/3} / 2 n^{5/3} / 3^{1/3} m^* \approx 2.3 \text{ ГПа.}$$

Приведенные данные подтверждают предположение о существенной роли 5f-оболочек урана в формировании электронной структуры UFe₁₀Sn₂. В процессе образования этого соединения происходят значительные изменения в электронных конфигурациях составляющих его атомов, которые, как мы полагаем, связаны с захватом значительного числа валентных электронов на вакантные места в 5f-оболочках урана. Таким образом, происходит обеднение широких s—p-зон проводимости электронами за счет заселения узких f-зон с большой эффективной массой носителей. Значительна также роль основного контингента квазисвязанных состояний d-электронов. Низкое значение K , характерное скорее для щелочного металла Rb, чем для металлов переходных групп, свидетельствует, что химическая связь в системе в основном имеет не простой металлический характер, а осуществляется межатомными орбиталями d—f-типа. Образование виртуальных связанных f-состояний и виртуальных валентных d—f-связей является причиной понижения $R(E)$ соединения в основной области энергий его валентных электронов.

Авторы благодарны В. Суски за полезные обсуждения.

Список литературы

- [1] Suski W., Baran A., Mydlarz T. // Phys. Lett. 1989. V. A136. N 1, 2. P. 89—91.
- [2] Соколов А. В. Оптические свойства металлов. М., 1961. 464 с.
- [3] Шумская Н. И. Определитель рудных минералов по спектральным кривым отражения. Л., 1985. 230 с.
- [4] Безносов А. Б., Еременко В. В., Никольский Г. С. Сплавы редких и тугоплавких металлов с особыми физическими свойствами. М., 1979. С. 81—85.
- [5] Пайнс Д. Элементарные возбуждения в твердых телах. М., 1965. 382 с.